

## مقایسه اثر کاتالیزوری نانو کرومیت مس و نانو لوله‌های کربنی اصلاح شده در تجزیه حرارتی آمونیوم پرکلرات

حسن توکلی<sup>۱</sup>، رسول صراف ماموری<sup>۲\*</sup>، علیرضا زارعی<sup>۳</sup>

۱- دانشجوی دکتری ۲- دانشیار دانشگاه تربیت مدرس، ۳- دانشیار دانشگاه مالک اشتر

(تاریخ وصول: ۹۳/۰۹/۲۵، تاریخ پذیرش: ۹۴/۰۱/۱۶)

### چکیده

در این پژوهش، اثر نانو کاتالیزوری کرومیت مس ( $\text{CuO} \cdot \text{Cr}_2\text{O}_3$ ) و نانو لوله‌های کربنی چند دیواره (MWCNTs) بر روی رفتار تجزیه حرارتی آمونیوم پرکلرات (AP)، با استفاده از کالریمتری پیمایشی تغاضلی (DSC) بررسی شده است. ابتدا، نانو کاتالیزور کرومیت مس به روش هم رسوی معکوس سنتر شد. در روش هم رسوی معکوس از مواد اولیه نیترات مس سه آبه ( $\text{Cu}(\text{NO}_3)_2 \cdot 3\text{H}_2\text{O}$ ) و نیترات کروم نه آبه ( $\text{Cr}(\text{NO}_3)_3 \cdot 9\text{H}_2\text{O}$ ) با نسبت مولی ۱ به ۲ استفاده، سپس نانو لوله‌های کربنی چند دیواره، با روش شیمیایی اصلاح شده است. قطر تقریبی نانو لوله‌های کربنی استفاده شده، ۲۰ تا ۳۰ نانومتر و طول آن ۵ تا ۱۰ میکرومتر است. مطالعات فازی با دستگاه الگوی پراش پرتوایکس (XRD)، پیوندهای تشکیل شده با دو روش طیف سنجی مادون قرمز تبدیل فوریه (FT-IR) و طیف سنجی رامان، و همچنین مشاهده ریز ساختار و اندازه تقریبی نانو ذرات با میکروسکوپ الکترونی رویشی گسیل میدانی (FE-SEM) بررسی شده است. متوسط اندازه بولرهای کرومیت مس ۱۸ nm به دست آمد. نتایج تجزیه حرارتی آمونیوم پرکلرات در حضور نانو کاتالیزور کرومیت مس و نانو لوله‌های کربنی اصلاح شده نشان داده است که ۳ درصد وزنی نانو کاتالیزور، دمای تجزیه حرارتی آمونیوم پرکلرات را به اندازه  $94.86^\circ\text{C}$  و  $83.49^\circ\text{C}$  به ترتیب برای کرومیت مس و MWCNTs کاهش داده است. در ضمن تغییرات آنتالپی احتراق  $-1132.31 \text{ J g}^{-1}$  و  $-1308.71 \text{ J g}^{-1}$  به ترتیب برای کرومیت مس و MWCNTs به دست آمد.

واژه‌های کلیدی: نانو کاتالیزور، کرومیت مس، نانو لوله‌های کربنی چند دیواره اصلاح شده، هم رسوی معکوس، آمونیوم پرکلرات.

## Comparison of Catalytic Effect of Copper Chromite ( $\text{CuO} \cdot \text{Cr}_2\text{O}_3$ ) Nanoparticles and Functionalized Multi-Walled Carbon Nanotubes (MWCNTs) in Thermal Decomposition of Ammonium Perchlorate

H. Tavakoli<sup>1</sup>, R. Sarraf-Mamoory<sup>2\*</sup>, A. Zarei<sup>3</sup>

1, 2- Tarbiat Modares University, Tehran

3- Malek Ashtar University of Technology, Tehran

(Received: 16/12/2014, Accepted: 04/05/2015)

### Abstract

In this study, the effect of copper chromite ( $\text{CuO} \cdot \text{Cr}_2\text{O}_3$ ) nanoparticles and multi-walled carbon nanotubes (MWCNTs) as nanocatalysts on the thermal decomposition behavior of ammonium perchlorate (AP) has been investigated using Differential Scanning Calorimetry (DSC). At first, copper chromite ( $\text{CuO} \cdot \text{Cr}_2\text{O}_3$ ) nanoparticles were prepared by inverse co-precipitation method. In this method, cupric nitrate trihydrate ( $\text{Cu}(\text{NO}_3)_2 \cdot 3\text{H}_2\text{O}$ ), and chromium nitrate nona hydrate ( $\text{Cr}(\text{NO}_3)_3 \cdot 9\text{H}_2\text{O}$ ) with a mole ratio of 1:2 were used. Then, multi-walled carbon nanotubes were modified by a chemical method. The MWCNTs were used with the average approximate diameter of nanotubes varying from 20 to 30 nm and their lengths from 5 to 10  $\mu\text{m}$ . Phase was studied by X-ray Diffraction Spectroscopy (XRD) and the obtained bonds via two methods of Fourier Transform Infrared Spectroscopy (FT-IR) and Raman Spectroscopy. Microstructure observations and size of nanoparticles were determined by Field Emission Scanning Electron Microscopy (FE-SEM). The average crystallite size of obtained copper chromite was 18 nm. The results showed that using 3 wt.-% nano catalysts lowered the decomposition temperature of AP to  $94.86^\circ\text{C}$  and  $83.5^\circ\text{C}$  for copper chromite ( $\text{CuO} \cdot \text{Cr}_2\text{O}_3$ ) and nano- MWCNTs, respectively. Meanwhile, the total enthalpies, for these two cases, were  $1132.31 \text{ J g}^{-1}$  and  $1308.71 \text{ J g}^{-1}$  respectively.

**Keywords:** Nanocatalyst, Copper Chromite, Functionalized MWCNTs, Inverse Co-Precipitation, Ammonium Perchlorate.

\* Corresponding Author E-mail: rsarrafm@modares.ac.ir

"Journal of Energetic Materials" Volume 10, No.1, Serial No.25, Spring 2015

## ۱- مقدمه

دماه تجزیه آمونیم پرکلرات از  $441/61^{\circ}\text{C}$  به ترتیب به  $353/14^{\circ}\text{C}$ ،  $351/54^{\circ}\text{C}$  و  $340/83^{\circ}\text{C}$  شدند. در گزارش دیگری استفاده از کاتالیزور  $\text{CuO}.\text{Cr}_2\text{O}_3$  و اختلاط فیزیکی با آمونیم پرکلرات، کاهش دماه تجزیه آمونیم پرکلرات را از  $467^{\circ}\text{C}$  به  $349^{\circ}\text{C}$  رسانید [۲۱]. در این گزارش، از روش الکتروشیمی استفاده شده که با روش اعمالی در این پژوهش متفاوت است. فنگ شنگ لی<sup>۵</sup> و همکاران [۲۲] از کاتالیزور آین پژوهش متفاوت است. کاهش دماه تجزیه آمونیم پرکلرات  $\text{Ni/CNTs}$  استفاده نموده و کاهش دماه تجزیه آمونیم پرکلرات از  $446/5^{\circ}\text{C}$  رسیدند. فنگ لی<sup>۶</sup> و همکاران [۲۳] با استفاده از کاتالیزورهای  $\text{CoAl-MMO/CNT}$  و  $\text{CoAl-MMO}$  تجزیه آمونیم پرکلرات را مطالعه نموده و کاهش دماه تجزیه آمونیم پرکلرات از  $444^{\circ}\text{C}$  به ترتیب به  $355^{\circ}\text{C}$ ،  $297^{\circ}\text{C}$  و  $271^{\circ}\text{C}$  رسیدند. سویی بینگ<sup>۷</sup> و همکاران [۲۴] نیز با استفاده از کاتالیزورهای  $\text{Cu}$  مخلوط ( $\text{Cu/CNT}$ ) و  $\text{Cu/CNT}$  و اختلاط فیزیکی با آمونیم پرکلرات موفق به کاهش دماه تجزیه آمونیم پرکلرات از  $478/1^{\circ}\text{C}$  به ترتیب به  $395/40^{\circ}\text{C}$ ،  $363/2^{\circ}\text{C}$  و  $351/8^{\circ}\text{C}$  شدند.

اگرچه پژوهش‌های گوناگونی در این زمینه انجام شده است اما هنوز گزارشی در به کارگیری کرومیت مس سنتز شده به عنوان یک کاتالیزور در تجزیه حرارتی آمونیم پرکلرات مشاهده و مقایسه آن‌ها انجام نشده است. بنابراین در این پژوهش، ضمن ارائه روش سنتز کرومیت مس و اصلاح نانو لوله‌های کربنی اصلاح شده به عنوان یک کاتالیزور در تجزیه حرارتی آمونیم پرکلرات مورد استفاده قرار گرفته و تأثیر هر کدام در کاهش دماه تجزیه و افزایش تغییر آنتالپی احتراق آمونیم پرکلرات مورد مطالعه و پژوهش قرار گرفته و نتایج با یکدیگر مقایسه شده‌اند.

## ۲- بخش تجربی

### ۲-۱- مواد

واکنشگرهای شامل نیترات مس سه آبه ( $\text{Cu}(\text{NO}_3)_2 \cdot 3\text{H}_2\text{O}$ )، با خلوص ۹۸ درصد و جرم مولکولی  $241.60\text{ g/mol}$ ، نیترات کروم نه آبه  $400/15^{\circ}\text{C}$ ، با خلوص ۹۷ درصد و جرم مولکولی  $250\text{ g/mol}$  از شرکت LOBA Chemie هند، آمونیاک با خلوص ۹۰ درصد وزنی از شرکت مرک، نانو لوله‌های کربنی چند دیواره، با قطر تقریبی ۳۰ نانومتر و طول آن ۵ تا ۱۰ میکرومتر با خلوص ۹۰ تا ۹۵ درصد از پژوهشگاه صنعت نفت ایران، آمونیم پرکلرات (AP)<sup>۸</sup> با اندازه ذره ۱۵۰ میکرون از دانشگاه صنعتی مالک اشتر و آب مقطر دو بار نقطی تهیه شده است.

آمونیوم پرکلرات، ماده‌ای پرانرژی و کلیدی برای فناوری موشکی است. این ماده متداوی ترین اکسنده و مهم‌ترین جزء انرژی در پیشرانه‌های جامد موشکی است که حدود ۶۰ تا ۸۵ درصد وزنی پیشرانه را تشکیل می‌دهد. ویژگی منحصر به فرد این اکسنده، اثرگذاری قابل توجه بر کارایی پیشرانه‌های جامد موشکی است [۱۱]. سرعت سوزش پیشرانه، شاخص بسیار کلیدی در طراحی موتورهای موشک است. با توجه به این مسئله، خواص احتراقی آمونیوم پرکلرات تأثیر بسیار زیادی روی سرعت سوزش پیشرانه دارد [۲]. از طرف دیگر، خواص احتراقی با شاخصی به نام تجزیه حرارتی آمونیوم پرکلرات تعیین می‌شود. هرچه دماه تجزیه این ماده پایین‌تر باشد خواص احتراقی و به عبارت دیگر سرعت سوزش پیشرانه بهتر می‌شود. یکی از شاخص‌های دیگر برای بهبود خواص احتراقی و یا سرعت سوزش آنتالپی احتراق می‌باشد. هرچه این شاخص بیشتر باشد خواص احتراقی مطلوب‌تر است [۳-۷]. تاکنون، کارهای تحقیقاتی زیادی در زمینه بررسی تأثیر کاتالیزورهای مختلف به ویژه نانو ذرات فلزات واسطه، به دلیل اندازه بسیار کوچک سطح ویژه بزرگ‌تر، بر فرایند تجزیه حرارتی آمونیوم پرکلرات در پیشرانه‌های جامد صورت گرفته است. محققان به این نتیجه رسیده‌اند که کاتالیزورها سرعت سوزش پیشرانه را یا به عبارتی تسريع تجزیه حرارتی آمونیوم پرکلرات افزایش می‌دهند [۱۳-۸]. بنابراین، یکی از روش‌هایی که قادر است این شاخص‌ها را بهبود بخشد استفاده از یک یا چند نوع کاتالیزور در کنار آمونیم پرکلرات می‌باشد. بدینهای است که در این رابطه نانو کاتالیزورها راندمان مؤثرتری نسبت به کاتالیزورها خواهند داشت [۱۴ و ۱۵].

پژوهش‌های متعددی در استفاده از کاتالیزور و یا نانو کاتالیزورها برای بهبود این موضوع انجام شده است. اکسوجی یانگ<sup>۹</sup> و همکاران [۱۶] با استفاده از کاتالیزور  $\text{MgO}$  و اختلاط با آمونیم پرکلرات موفق به کاهش دماه تجزیه آمونیم پرکلرات از  $437^{\circ}\text{C}$  به  $355^{\circ}\text{C}$  شدند. لی زی زنگ<sup>۱۰</sup> و همکاران [۱۷] با مطالعه کاتالیزور  $\text{Fe}_2\text{O}_3$  در تجزیه آمونیم پرکلرات به کاهش دماه تجزیه آمونیم پرکلرات از  $426/4^{\circ}\text{C}$  به  $387/5^{\circ}\text{C}$  رسیدند. در پژوهش دیگری لین‌شنگ ونگ<sup>۱۱</sup> و همکاران [۱۸] کاتالیزور  $\text{CuFe}_2\text{O}_4$  را برای همین موضوع به کار گرفته و گزارش کردند که دماه تجزیه آمونیم پرکلرات از  $445^{\circ}\text{C}$  به  $351^{\circ}\text{C}$  شد. کاهش یافته است. به کارگیری کاتالیزور  $\text{O}_2$  و اختلاط فیزیکی با آمونیم پرکلرات، کاهش دماه تجزیه آمونیم پرکلرات را از  $439^{\circ}\text{C}$  به  $348^{\circ}\text{C}$  نشان داده است [۱۹]. علیزاده فشلاقی<sup>۱۲</sup> و همکاران [۲۰] با استفاده از کاتالیزورهای  $\text{CuO}.\text{Cr}_2\text{O}_3$  و  $\text{Co}_3\text{O}_4$  موفق به کاهش

5- FengSheng Li

6- Feng Li

7- Cui Ping

8- Ammonium Perchlorate

1- Xujie Yang

2- Lizhi Zhang

3- Linsheng Wang

4- Alizadeh-Gheshlaghi

شد. محلول بدست آمده چندین بار با آب بدون یون شستشو داده شد تا pH محلول خنثی شود. سپس به وسیله دستگاه سانتریفیوژ، نانو لوله‌های کربنی چند دیواره جدا شد. در نهایت به مدت ۱۲ ساعت در دمای  $80^{\circ}\text{C}$  داخل آون (خشک کن) قرار گرفت تا مقدار آبی که توسط نانو لوله‌های کربنی در فرایند خالص سازی جذب شده بود، تبخیر شود.

### ۲-۵- اختلاط فیزیکی نانو کاتالیزورها با آمونیوم پرکلرات

ابتدا نانو کاتالیزور کرومیت مس به میزان ۳٪ وزنی با آمونیوم پرکلرات به طور معمول مخلوط شد و ۱۶ mg نانو کاتالیزور به همراه mg ۵۱۸ آمونیوم پرکلرات در داخل یک بشر ریخته و سپس ۱۰ ml متیل ایزوپوتیل کتون به آن اضافه شد و به مدت ۱۰ دقیقه در حمام اولتراسونیک پراکنده گردید. سپس بر روی همزن مغناطیسی قرار داده شد و در حال هم زدن و اعمال دمای  $80^{\circ}\text{C}$ ، متیل ایزوپوتیل کتون تبخیر گردید تا در نهایت نانو کاتالیزور به همراه آمونیوم پرکلرات رسوب کرد. سپس با استفاده از آنالیز حرارتی نمونه مورد مطالعه و بررسی قرار گرفت. همچنین نانو لوله‌های کربنی اصلاح شده نیز به میزان ۳٪ وزنی با آمونیوم پرکلرات مخلوط و مراحل فوق تکرار و دمای تجزیه حرارتی و تغییرات آنتالپی احتراق آن با استفاده از آنالیز حرارتی بررسی شد.

## ۳- نتایج و بحث

### ۳-۱- آنالیز حرارتی کرومیت مس

در شکل (۱) منحنی TG-DSC مربوط به نانو ذرات کرومیت مس جهت تعیین تغییرات مختلف در دماهای گوناگون نشان داده شده است. همان‌گونه که در شکل نشان داده شده است در محدوده دمایی  $400^{\circ}\text{C}$ ، یک کاهش وزن حدود  $39\%$  در TG وجود دارد. وقتی که دما از  $400^{\circ}\text{C}$  تا  $400^{\circ}\text{C}$  افزایش می‌یابد، تعییر کاهش وزن، ناچیز است. در منحنی DSC سه ناحیه مجزا، به ترتیب  $100^{\circ}\text{C}$  تا  $200^{\circ}\text{C}$ ،  $200^{\circ}\text{C}$  تا  $300^{\circ}\text{C}$  و  $300^{\circ}\text{C}$  تا  $400^{\circ}\text{C}$  مشاهده شده است. ناحیه اول کاهش وزن با حذف آب مطابقت دارد. ناحیه دوم مربوط به پیروولیز  $\text{NO}_3^-$  می‌باشد. سپس حذف مواد باقیمانده در ناحیه سوم رخ می‌دهد و احتمالاً فاز معدنی بلور کرومیت مس در دمای  $500^{\circ}\text{C}$  تشکیل می‌شود [۲۶].

### ۳-۲- آنالیز XRD

ساختار بلوری نانو کاتالیزور کرومیت مس توسط الگوی پراش اشعه x مشخص شد. همان‌طور که در شکل (۲) نشان داده شده است. پراش پیک‌ها در اطراف  $21,48^{\circ}$ ,  $34,45^{\circ}$ ,  $41,07^{\circ}$ ,  $36,17^{\circ}$ ,  $43,95^{\circ}$ ,  $49,66^{\circ}$ ،  $54,31^{\circ}$ ،  $58,47^{\circ}$ ،  $62,65^{\circ}$ ،  $68,81^{\circ}$  و  $72,65^{\circ}$  درجه به ترتیب با انعکاس صفحات (۱۱۱)، (۲۰۲)، (۳۱۱)، (۲۰۲)، (۲۲۲)، (۴۰۰)، (۳۱۱)، (۲۰۲)، (۲۲۳)، (۴۳۰)، (۲۲۴)، (۳۳۳)، (۴۴۰) و (۶۶۲) مطابقت دارد.

### ۲-۲- تجهیزات

تجهیزات مورد نیاز در این پژوهش شامل همزن مغناطیسی، ترازوی دیجیتالی دقیق با حداقل دقت ۱۰۰۰ گرم، کوره لوله‌ای، و لوازم آزمایشگاهی معمول بوده است. تجهیزات آنالیزی شامل دستگاه پراش اشعه ایکس (XRD) Philips مدل Co-K $\alpha$  با طول موج ۱,۷۴۰ آنگستروم، میکروسکوپ الکترونی روبشی گسیل میدانی (-FESEM) مدل S4160 Hitachi, Japan، طیف سنجی تبدیل فوریه مادون قرمز (FT-IR) Perkin-Elmer مدل ساخت آرامان<sup>۴</sup> مدل شرکت Thermonicolet Almega دستگاه کالریمتری پیمایشی Metler Toledo (TG-DSC) مدل (Switzerland)، تحت اتمسفر نیتروژن و با سرعت  $10^{\circ}\text{C}/\text{min}$  وزن نمونه مورد آنالیز ۲,۸۹۰ میلی گرم و جنس ظرف در آنالیز آلومینیوم استفاده شده است.

### ۲-۳- سنتز نانو ذرات کرومیت مس به روش هم رسوی معکوس

روش استفاده شده در این پژوهش بر اساس اصول کلی و فرایندهای شناخته شده در روش هم رسوی است [۲۵]. بدین ترتیب،  $0.5\text{~mol}$  نیترات مس سه آبه و  $0.1\text{~mol}$  نیترات کروم نه آبه به  $100\text{~mL}$  لیتر آب مقطر اضافه، سپس روی همزن مغناطیسی قرار گرفت. pH محلول نمک‌های فلزی در ابتدا ۲ بود و سپس با آمونیاک (۲۵ درصد وزنی) در  $\text{pH}=8$  تنظیم شد. پس از رسوب یون‌های فلزات حاصل از واکنش، رسوب حاصل صاف و توسط آب بدون یون شستشو و خنثی گردید. رسوب مورد نظر بعد از جداسازی، در یک آون در دمای  $50^{\circ}\text{C}$  در  $110^{\circ}\text{C}$  خشک و سپس در دمای  $20^{\circ}\text{C}/\text{min}$   $20^{\circ}\text{C}$  کلسینه اتمسfer هوا به مدت زمان ۲ ساعت با سرعت گردید. سرانجام پودر (سیاه رنگ) نانو کاتالیزور کرومیت مس تهیه شد.

### ۲-۴- اصلاح و عامل‌دار کردن نانو لوله‌های کربنی چند دیواره

در این روش، برای تصفیه و اصلاح نانو لوله‌های کربنی چند دیواره خام (خریداری شده از پژوهشگاه صنعت نفت) با قطر خارجی  $10\text{~nm}$  و طول  $10\text{~micrometer}$ ، ابتدا آن‌ها در دمای  $350^{\circ}\text{C}$  به مدت ۲ ساعت در داخل کوره قرار داده شدند تا کربن آمورف حذف شود. سپس یک گرم از نانو لوله‌های کربنی چند دیواره در  $100\text{~mL}$  لیتر اسید نیتریک  $\text{HNO}_3$  با غلظت ۷ مول بر لیتر حل و به مدت ۱۵ دقیقه داخل دستگاه التراسونیک قرار داده شد، تا مخلوط همگنی بdst آید. پس از آن به مدت ۱۰ ساعت در دمای  $120^{\circ}\text{C}$  روی همزن مغناطیسی رفلکس

1- X-ray Diffraction

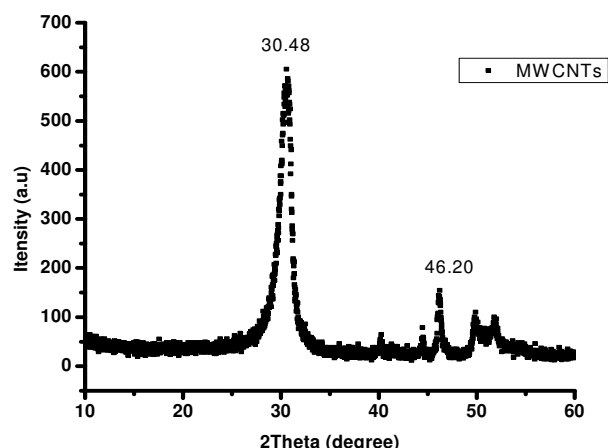
2- Field Emission Scanning Electron Microscopy

3- Fourier Transform Infrared Spectroscopy

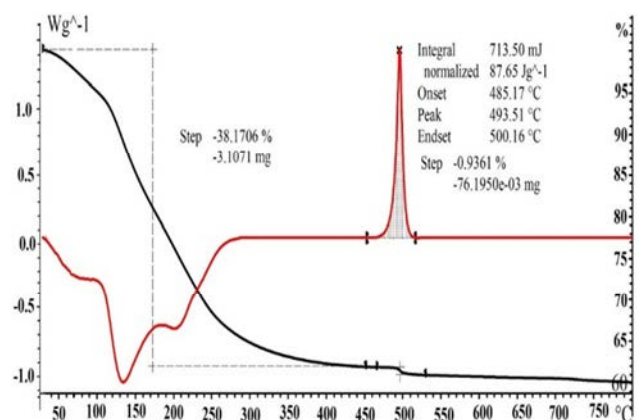
4- Raman

5- Thermogravimetry -Differential Scanning Calorimetry

و اصلاح سطح، همان طور که از منحنی مشخص است، پیک‌های تفرق نانو لوله‌های کربنی در زوایای ۲۰ به ترتیب برابر با ۳۰.۴۸ و ۴۶.۲۰ درجه مربوط به صفحات (۰۰۲) و (۱۰۰) مشاهده شده است. انعکاس صفحات با استاندارد (JCPDS no. 12-0212)، مطابقت داشته و ساختار بلوری گرافیتی نانو لوله‌های کربنی را تأیید می‌کند.



شکل ۳- الگوی XRD MWCNTs بعد از عامل‌دار شدن.



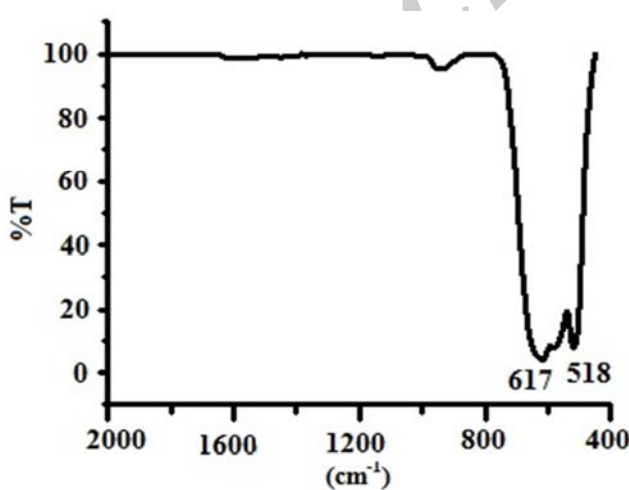
شکل ۱- ترمومگرام TG-DSC، نانو ذرات کرومیت مس سنتز شده به روش هم رسوبی معکوس با سرعت حرارت دهی ۱۰ °C/min.

انعکاس صفحات با استاندارد (JCPDS no. 005-0657)، مطابقت داشته و ساختار بلوری کرومیت مس را تأیید می‌کند. اندازه متوسط بلورکها می‌توان با تکنیک پهن شدن پیک‌های پرتو ایکس بدست آورد. فرمول شور اندازه بلورک را بر حسب پهنه‌ای پیک در نصف ارتفاع محاسبه می‌کند. اندازه تقریبی بلورها برای روش سنتز هم رسوبی توسط معادله ذیل، فرمول شر<sup>۱</sup> برای صفحه (۳۱۱)، ۱۸ نانومتر است [۲۷ و ۲۸].

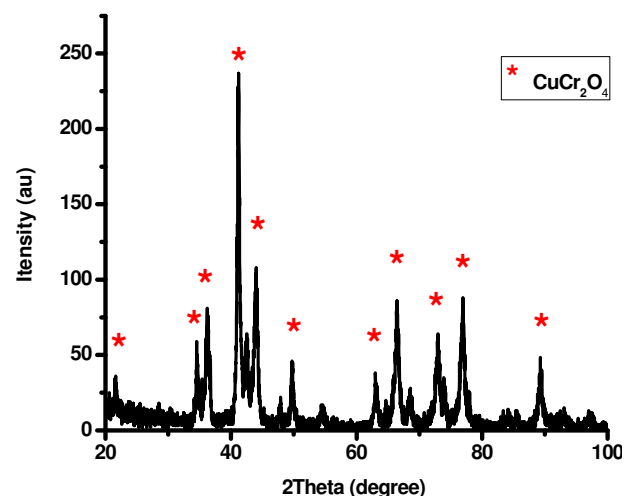
$$D = \frac{0.9\lambda}{\beta \cos\theta}$$

که در آن  $\beta$ ، پهنه‌ای پیک در نصف ارتفاع ماکریزم،  $\lambda$  طول موج اشعه  $X$  زاویه بین پرتو باز تابش و تابش،  $D$  اندازه متوسط بلورکها می‌باشد.

شکل (۴) طیف FT-IR نانو کاتالیزور کرومیت مس سنتز شده به روش هم رسوبی معکوس را نشان می‌دهد. همان‌طور که در نمودار ذیل مشاهده می‌شود پیک ظاهر شده در  $617\text{cm}^{-1}$  و  $518\text{cm}^{-1}$  مربوط به ماهیت اکسیدهای فلزی  $\text{Cr}_2\text{O}_3$  و  $\text{Cu}-\text{O}$  می‌باشد. در نمودار هیچ گونه پیکی که نشان دهنده ناخالصی ناشی از حضور مواد آلی در نمونه باشد مشاهده نشد.



شکل ۴- طیف FT-IR نانو کاتالیزور کرومیت مس.

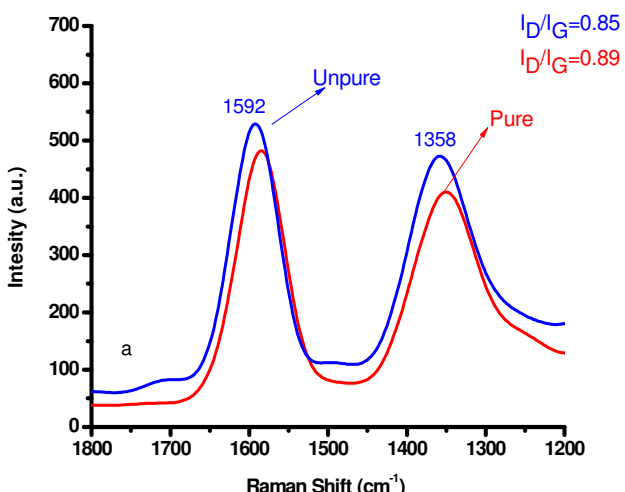


شکل ۲- الگوی XRD نمونه کلسینه شده پودر نانو کاتالیزور کرومیت مس.

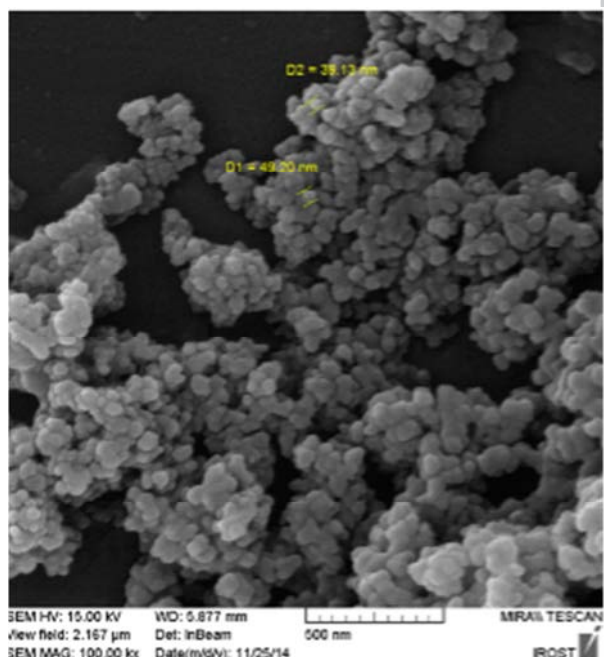
همچنین خصوصیات بلوری نانو لوله‌های کربنی با استفاده از الگوی پراش اشعه  $x$  در شکل (۳) نشان داده شده است. بعد از عملیات اسیدی

### ۵-۳- آنالیز FE-SEM

برای بررسی ریخت شناسی پودر سنتز شده، از دستگاه میکروسکوپ الکترونی رویشی گسیل میدانی استفاده شد. همان‌طور که در شکل (۷) مشاهده می‌شود، بلورها به شکل گرد (Rodnd) هستند و پراکندگی و توزیع اندازه ذرات یکنواخت است. با توجه به ذره انتخابی در تصویر ملاحظه می‌شود پودر سنتز شده، دارای ابعاد ۳۰ الی ۷۰ نانومتری می‌باشد.

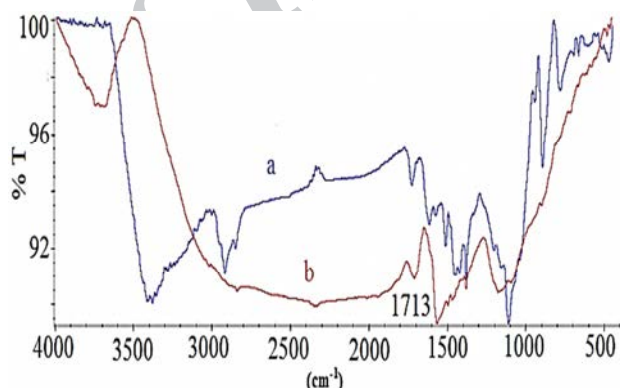


شکل ۶- طیف رامان نانو لوله کربنی خالص و ناخالص در ناحیه ۱۱۰۰ تا  $2000\text{ cm}^{-1}$



شکل ۷- تصویر میکروسکوپ الکترونی رویشی گسیل میدانی، پودر نانوکاتالیست کرومیت مس.

به علاوه بررسی طیف سنجی تبدیل فوریه مادون قرمز (FT-IR) برای نمونه خالص شده نانو لوله‌های کربنی چند دیواره از نمونه خام اولیه در شکل (۵) نشان داده شده است. طیف سنجی مادون قرمز در ناحیه ۱۱۰۰ تا  $400\text{ cm}^{-1}$  برای MWCNTs جهت شناسایی پیوند شیمیایی صورت گرفت. می‌توان پیک‌های ۳۳۸۴، ۲۹۲۱، ۱۷۱۳ و  $1384\text{ cm}^{-1}$  را به ترتیب به ارتعاشات کششی پیوندهای O-H، گروه (-CH<sub>2</sub>-)، متقاضان یا نامتقارن، گروه استر مربوط به کربوکسیلیک و ارتعاشات خمی صفحات داخلی گروه هیدروکسیل مرتبط دانست [۲۶]. البته تنها پیک شاخصی که مربوط به خالص‌سازی و عامل دار شدن در نتایج FT-IR از نانو لوله‌های کربنی مشاهده شد، پیک شاخص در حوالی  $1713\text{ cm}^{-1}$  است که می‌توان باقین بیشتری به خالص‌سازی MWCNTs نسبت داد. شایان ذکر است پیک مربوط به نانو لوله کربنی خالص در شکل (۵) نشان می‌دهد گروه هیدروکسیل در  $3384\text{ cm}^{-1}$  زمانی که نانو لوله کربنی توسط اسید نیتریک اکسید شده کاهش می‌یابد یا به عبارتی ضعیفتر می‌شود [۲۴].



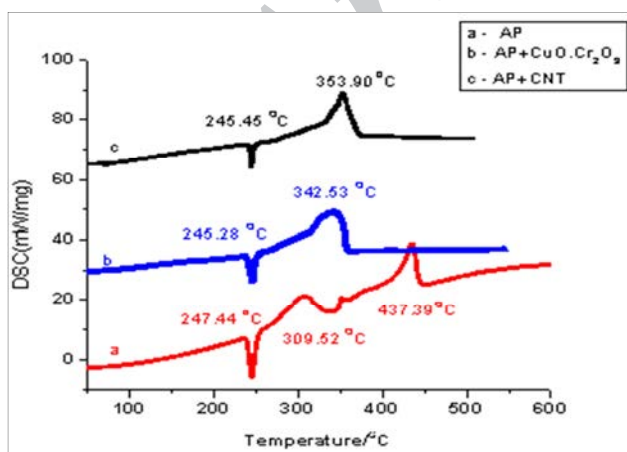
شکل ۵- طیف FT-IR (a) ناخالص، (b) خالص و عامل دار نانو لوله‌های کربنی

### ۴-۳- آنالیز RAMAN

بررسی طیف سنجی رامان برای نمونه خالص شده نانو لوله‌های کربنی چند دیواره از نمونه خام اولیه در شکل (۶) نشان داده شده است. طیف سنجی رامان در ناحیه ۱۱۰۰ تا  $2000\text{ cm}^{-1}$  برای MWCNTs جهت شناسایی پیوند شیمیایی صورت گرفت. می‌توان پیک‌های ۱۳۵۸ و  $1592\text{ cm}^{-1}$  را به ترتیب به D باند و G باند نسبت داد. D باند مربوط به عیوب و بنی‌نظمی‌ها (کربن‌های با هیبرید<sup>3</sup> sp<sup>3</sup>) به جهت صفات گرافیتی و دیگر شکل‌های کربنی؛ همچون حلقه‌های پنج ضلعی و هفت ضلعی و دیگر شکل‌های اتمی روی دیواره نانو لوله‌های کربنی و جاهای خالی آن می‌باشد. همچنین G باند مربوط به ارتعاشات صفحات داخلی دیواره گرافیتی (کربن‌های با هیبرید<sup>2</sup> sp<sup>2</sup>) می‌باشد. بنابراین اصلاح سطوح ساختار نانو لوله‌های کربنی با نسبت شدت D باند به G باند (I<sub>D</sub>/I<sub>G</sub>) نشان داده می‌شود. این نسبت برای نانو لوله‌های کربنی اولیه (ناخالص)  $0.85 \pm 0.08$  و نانو لوله‌های کربنی خالص  $0.89 \pm 0.03$  است [۳۰].

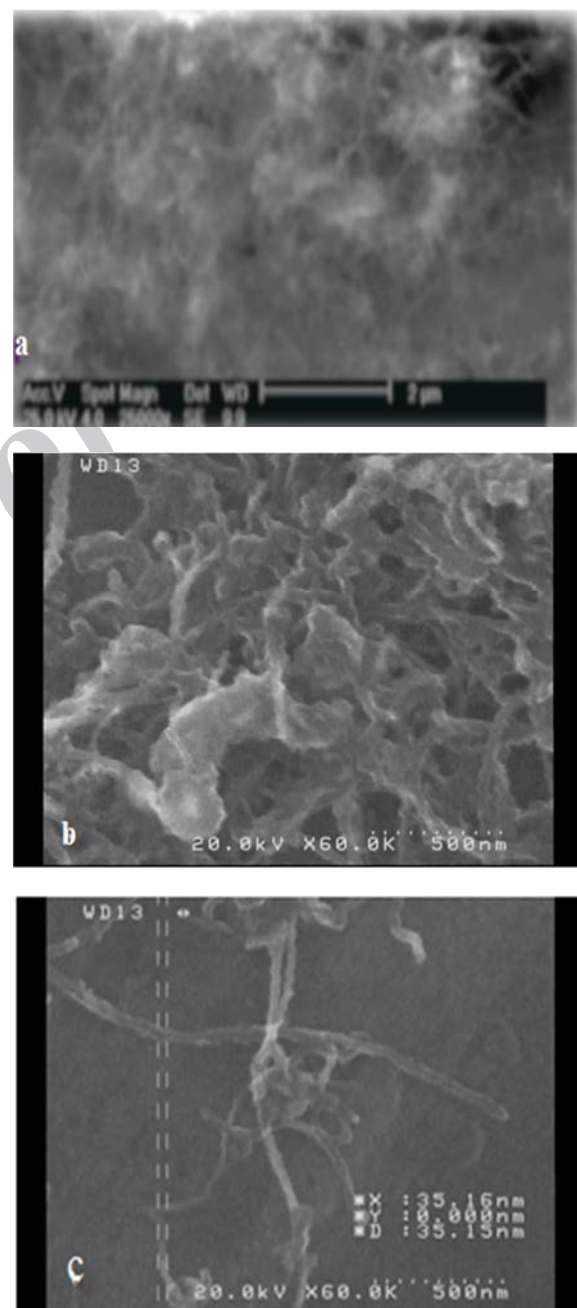
### ۶-۳- آنالیز تجزیه حرارتی آمونیم پرکلرات

شکل (۹) متحنی DSC به ترتیب برای AP خالص و  $3 + AP$  درصد نانو کاتالیزور کرومیت مس و همچنین AP خالص و  $3 + AP$  درصد نانو کاتالیزور (MWCNTs) در سرعت حرارت دهی  $10^{\circ}\text{C}/\text{min}$  را نشان می‌دهد. پیک گرمایی AP خالص در  $247.44^{\circ}\text{C}$  به جهت انتقال فاز بلوری اورتورومیبیک به کیوبیک می‌باشد. پیک گرمایی دمای پایین (LTD) در  $309.52^{\circ}\text{C}$  به جهت تجزیه حرارتی جزیی LTD است. در حالی که پیک گرمایی دمای بالا (HTD) در  $363.90^{\circ}\text{C}$  تجزیه کامل AP را نشان می‌دهد. بعد از اضافه شدن نانو کاتالیزور کرومیت مس و نانو لوله‌های کربنی اصلاح شده به ترتیب دمای تجزیه حرارتی AP به  $342.53^{\circ}\text{C}$  و  $350.28^{\circ}\text{C}$  می‌رسد. همچنین تغییر آنتالپی احتراق آن به ترتیب  $1132.31\text{J/g}$  و  $13081.71\text{J/g}$  بدست آمد. دمای شروع تفکیک بعد از اضافه شدن نانو کاتالیزور کرومیت مس و نانو لوله‌های کربنی اصلاح شده به ترتیب  $295.54^{\circ}\text{C}$  و  $295.54^{\circ}\text{C}$  می‌باشد. همان‌گونه که این نتایج نشان می‌دهد هردو ماده کرومیت مس و نانو لوله کربنی خواص کاتالیزوری خوبی از خود بروز داده‌اند. در یک مقایسه کیفی و کمی در موضوع، کاهش دمای تجزیه با کرومیت مس بهتر عمل نموده است و به عبارتی از نظر خواص کاتالیزوری شرایط بهتری را ارائه نموده است. از طرفی از نظر کمیت‌های بدست آمده در تغییر آنتالپی احتراق، نانو لوله‌های کربنی رفتار مساعدتری را نشان داده است. علت این امر احتمالاً به دلیل این است که در هنگام تجزیه حرارتی AP چون دما به کمیتی بالاتر از  $350^{\circ}\text{C}$  می‌رسد بخشی از ماده نانو لوله کربنی نیز می‌سوزد و همین موضوع دمای احتراق مجموع حاصل از AP و نانو لوله را افزایش می‌دهد. در هنگامی که کرومیت مس استفاده شده است آنتالپی احتراق فقط ناشی از تجزیه حرارتی AP می‌باشد و کرومیت مس بدون هیچ تغییری در سیستم باقی می‌ماند. [۲۶]



شکل ۹- ترمومگرام DSC مربوط به AP خالص، b مربوط به  $3 + AP$  درصد وزنی نانو کاتالیزور  $\text{CuO}.\text{Cr}_2\text{O}_3$  و c مربوط به  $3 + AP$  درصد وزنی نانو کاتالیزور CNT با سرعت حرارت دهی  $10^{\circ}\text{C}/\text{min}$ .

سطح نانو لوله‌های کربنی مربوط به مراحل خالص سازی، اکسید کردن و عملیات اسیدی در شکل (۸) نشان داده شده است. نانو لوله‌های کربنی، قبل از خالص سازی دارای ناخالصی‌های مختلفی از قبیل مواد کاتالیستی و سایر اشکال کربنی می‌باشند و به سختی می‌توان به وجود نانو لوله‌ها پی برد. به بیان دیگر نانو لوله‌ها در میان ناخالصی‌ها غوطه‌ور هستند. سپس بعد از مرحله اکسیداسیون و عملیات اسیدی وضوح تصاویر بیشتر مشاهده شده است. این مطلب مovid آن است که مجموعه فرایند خالص سازی موثر بوده و نانو لوله‌ها خالص‌تر شده‌اند.



شکل ۸- تصاویر میکروسکوپ الکترونی رویشی گسیل میدانی a, b, c به ترتیب مربوط به نانو لوله‌های خام، اکسید شده و تحت عملیات اسیدی عامل دار شده.

- [10] Hua, X.; Xiaobing, W.; Li, Z. "Selective Preparation of Nanorods and Micro-Octahedrons of  $\text{Fe}_2\text{O}_3$  and their Catalytic Performances for Thermal Decomposition of Ammonium Perchlorate"; Powder Technol. 2008, 185, 176–180.
- [11] Ma, Z.; Li, F.; Bai, H. "Effect of  $\text{Fe}_2\text{O}_3$  in  $\text{Fe}_2\text{O}_3/\text{AP}$  Composite Particles on Thermal Decomposition of AP and on Burning Rate of the Composite Propellant"; Propellant, Explos., Pyrotech. 2006, 31, 447–451.
- [12] Ma, Z.; Li, F.; Chen, A. "Preparation and Thermal Decomposition behavior of TMOs/AP Composite Nanoparticles"; J. Nano Sci. 2006, 11, 142–145.
- [13] Kapoor, I. P. S.; Srivastava, P.; Singh, G. "Nanocrystalline Transition Metal Oxides as Catalysts in the Thermal Decomposition of Ammonium Perchlorate"; Propellant, Explos., Pyrotech. 2009, 34, 351–356.
- [14] Zou, M.; Jiang, X.; Lu, L.; Wang, X. "Nano or Micro? A Mechanism on Thermal Decomposition of Ammonium Perchlorate Catalyzed by Cobalt Oxalate"; J. Hazard. Mater. 2012, 225, 124–130.
- [15] Chen, L.; Li, L.; Li, G. "Synthesis of CuO Nanorods and their Catalytic Activity in the Thermal Decomposition of Ammonium Perchlorate"; J. Alloys Compd. 2008, 464, 532–536.
- [16] Liu, L. L.; Li, F. S.; Tan, L. H.; Ming, L.; Yi, Y. "Effects of Nanometer Ni, Cu, Al, NiCu Powders on the Thermal Decomposition of Ammonium Perchlorate"; Propellant, Explos., Pyrotech. 2004, 29, 34–38.
- [17] Duan, G.; Yang, X.; Chen, J.; Huang, G.; Lu, L.; Wang, X. "The Catalytic Effect of Nanosized MgO on the Decomposition of Ammonium Perchlorate"; Powder Technol. 2007, 172, 27–29.
- [18] Zhang, Y.; Liu, X.; Nie, J.; Yu, L.; Zhong, Y. "Improve the Catalytic Activity of  $\text{Fe}_2\text{O}_3$  Particles in Decomposition of Ammonium Perchlorate by Coating Amorphous Carbon on Their Surface"; J. Solid State Chem. 2011, 184, 387–890.
- [19] Liu, T.; Wang, L.; Yang, P.; Hu, B. "Preparation of Nanometer  $\text{CuFe}_2\text{O}_4$  by Auto-Combustion and its Catalytic Activity on the Thermal Decomposition of Ammonium Perchlorate"; Mater. Lett. 2008, 62, 4056–4058.
- [20] Henga, B.; Xiao, T.; Hu, X.; Yuan, M.; Tao, W. Huang, W.; Tang, Y. "Catalytic Activity of  $\text{Cu}_2\text{O}$  Micro-Particles with Different Morphologies in the Thermal Decomposition of Ammonium Perchlorate"; Thermochim. Acta. 2011, 524, 135–139.
- [21] Gheslaghi, E.; Shaabani, B.; Khodayari, Ali.; Azizian, Y.; Rahimi, R. "Investigation of the Catalytic Activity of Nano-Sized  $\text{CuO}$ ,  $\text{Co}_3\text{O}_4$  and  $\text{CuCo}_2\text{O}_4$  Powders on Thermal Decomposition of Ammonium Perchlorate"; Powder Technol. 2012, 217, 330–339.
- [22] Prajakta R.; Patil, V.; Krishnamurthy, N.; Satyawati S. Joshi "Effect of Nano-Copper Oxide and Copper Chromite on the Thermal Decomposition of Ammonium Perchlorate"; Propellant, Explos., Pyrotech. 2008, 33, 266–270.
- [23] Zhang, X. J.; Jiang, Wei.; Song, Dan.; Liu, J. X.; Li, F. S. "Preparation and Catalytic Activity of Ni/CNTs Nano Composites using Microwave Irradiation Heating Method"; Mater. Lett. 2008, 26, 2343–2346.
- [24] Fan, G.; Wang, H.; Xiang, X.; Li, F. "Co-Al Mixed Metal Oxides/Carbon Nanotubes Nano Composite Prepared via a Precursor route and Enhanced Catalytic Property"; J. Solid State Chem. 2013, 197, 14–22.
- [25] Ping, C.; Li, F.; Jian, Z.; Wei, J. "Preparation of Cu/CNT Composite Particles and Catalytic Performance on Thermal Decomposition of Ammonium Perchlorate"; Propellant, Explos., Pyrotech. 2006, 31, 452–455.
- [26] Edrissi, M.; Hosseini, S. A.; Soleymani, M. "Synthesis and Characterization of Copper Chromite Nanoparticles Using Coprecipitation Method"; Micro. Nano. Lett. 2011, 6, 836–839

#### ۴- نتیجه‌گیری

در این پژوهش ترکیب کرومیت مس با استفاده از روش هم رسوی معکوس حاصل شد. اندازه تقریبی بلورها توسط معادله شر برای پیک  $18\text{nm}$ .<sup>(۳۱)</sup> به دست آمد. طیف سنجی مادون قرمز ماهیت اکسیدهای فلزی  $\text{Cr}-\text{O}$  و  $\text{Cu}-\text{O}$  مربوط به کرومیت مس را در نواحی  $617\text{cm}^{-1}$ ،  $518\text{cm}^{-1}$  و  $1592\text{cm}^{-1}$  مشخص شده است. الگوی پراش اشعه ایکس، پیک نانو لوله‌های کربنی چند دیواره را به ترتیب در زوایای  $20^\circ$ ،  $30^\circ$ ،  $40^\circ$  و  $46^\circ$  درجه مربوط به صفحات (۲) و (۰۰۲) ساختار گرافیتی نانو لوله‌های کربنی نشان می‌دهد. میکروسکوپ الکترونی روبشی گسیل میدانی نشان داده است، نانو ذرات کرومیت مس دارای مورفولوژی گرد و ابعاد  $20 \times 20 \times 20$  نانومتری می‌باشند. سپس نتایج DSC نشان می‌دهد که درصد وزنی نانو کاتالیزور، دمای تجزیه حرارتی آمونیوم پرکلرات را به اندازه  $94.86^\circ\text{C}$  و  $83.49^\circ\text{C}$  به ترتیب برای کرومیت مس و MWCNTs کاهش می‌دهد. در ضمن تغییر آنتالپی احتراق در حضور کرومیت مس مقدار  $1132.31\text{ J g}^{-1}$  و برای MWCNTs مقدار  $1308.71\text{ J g}^{-1}$  به دست آمد.

#### مراجع

- [1] Yu, Z.; Chen, L.; Lu, L.; Yung, X. "DSC/TG-MS Study on in Situ Catalytic Thermal Decomposition of Ammonium Perchlorate over  $\text{CoC}_2\text{O}_4$ "; Chin. J. Catal. 2009, 30, 19–23.
- [2] Deno, N. C.; Richey, H. G.; Liu, J. S.; Lincoln, D. N. "Sucrose Synthesis"; J. Am. Chem. Soc. 1965, 87, 4533–4538.
- [3] Chen, L. J. ; Li, G. S. ; Qi, P. ; Li, L. P. "Thermal Decomposition of Ammonium Perchlorate Activated Via Addition of NiO Nanocrystals"; J. Therm. Anal. Calorim. 2008, 92, 765–769.
- [4] Jacobs, P. W. M.; Whithead, H. M. "Thermal Decomposition and Combustion of Ammonium Perchlorate"; Chem. Rev. 1965, 4, 551–590.
- [5] Yu, Z.; Sun, Y.; Wei, W.; Lu, L.; Wang, X. "Preparation of  $\text{NdCrO}_3$  Nanoparticles and their Catalytic Activity in the Thermal Decomposition of Ammonium Perchlorate by DSC/TG-MS"; J. Therm. Anal. Calorim. 2009, 97, 903–909.
- [6] Han, X.; Sun, Y. L.; Wang, T. F.; Lin, Zh. K.; Li, Sh. F.; Zhao, F. Q.; Liu, Z. R.; Yi, J. H.; Ren, X. N. "Thermal Decomposition of Ammonium Perchlorate Based Mixture with Fullerenes"; J. Therm. Anal. Calorim. 2008, 91, 551–557.
- [7] Patil, P. R.; Krishnamurthy, V. N.; Joshi, S. S. "Differential Scanning Calorimetry Study of HTPB based Composite Propellants in Presence of Nano Ferric Oxide"; Propellant, Explos., Pyrotech. 2006, 31, 442–446.
- [8] Patil, P. R.; Krishnamurthy, V. N.; Joshi, S. S. "Effect of Nano-Copper Oxide and Copper Chromite on the Thermal Decomposition of Ammonium Perchlorate"; Propellant, Explos., Pyrotech. 2008, 33, 266–270.
- [9] Joshi, S. S.; Patil, P. R.; Krishnamurthy, V. N. "Thermal Decomposition of Ammonium Perchlorate in the Presence of Nanosized Ferric Oxide"; Defence. Sci. J. 2008, 58, 721–727.

- [30] Wu, H.; Liu, G.; Wang, X.; Zhang, J.; Chen, Y.; Shi, J.; Yang, H.; Hu, H.; Yang, S. "Solvochemical Synthesis of Cobalt Ferrite Nano Particles Loaded on Multi-Walled Carbon Nanotubes for Magnetic Resonance Imaging and Drug Delivery"; *Acta Biomater.* 2011, 7, 3496–504.
- [31] [30] Datsyuk, V.; Kalyva, M.; Papagelis, K.; Parthenios, J.; Tasis, D.; Siokou, A. "Chemical Oxidation of Multi-Walled Carbon Nanotubes"; *Carbon* 2008, 46, 833– 40.
- [27] Li, W.; Cheng, H. "Cu-Cr-O Nanocomposites: Synthesis and Characterization as Catalysts for Solid State Propellants"; *Solid State Sci.* 2007, 9, 750-755.
- [28] He, T.; He, Q. "Synthesis of Nano-Sized YSZ Powder from Glycine Nitrate Process and Optimization of their Properties"; *J. Alloys. Compd.* 2005, 396, 309-315.
- [29] Saberi, D.; Sheykhan, M.; Niknam, K.; Heydari, A. "Preparation of Carbon Nanotube-Supported  $\alpha$ -Fe<sub>2</sub>O<sub>3</sub>@CuO Nano Composite: A Highly Efficient and Magnetically Separable Catalyst in Cross-Coupling of Aryl Halides with Phenols"; *Catal. Sci. Technol.* 2013, 3, 2025-231.

Archive of SID